

01,11

Аномальное влияние спиновых флуктуаций на теплоемкость и энтропию в геликоидальном сильно коррелированном ферромагнетике MnSi

© А.А. Повзнер, А.Г. Волков, Т.А. Ноговицына

Уральский федеральный университет им. Б.Н. Ельцина,
Екатеринбург, Россия

E-mail: a.a.povzner@urfu.ru

(Поступила в Редакцию 22 июня 2016 г.)

В рамках модели Хаббарда, с электронным спектром, определенным в рамках первопринципного LDA + U + SO-расчета, расширенной учетом гундовского взаимодействия и антисимметричного обмена Дзялошинского–Мории, исследуется влияние спиновых флуктуаций на термодинамические свойства геликоидального ферромагнетика MnSi. Показано, что основное состояние магнетика характеризуется большими нулевыми флуктуациями, которые исчезают при $T^* (< T_c$ — температура магнитного фазового перехода). При этом энтропия скачкообразно возрастает, а на температурной зависимости теплоемкости при постоянном объеме ($C_v(T)$) возникает лямбда — подобная аномалия. В области $T^* < T < T_c$ тепловые флуктуации приводят к исчезновению неоднородной намагниченности. Конкуренция возрастания энтропии вследствие парамагнитных возбуждений и ее уменьшения за счет убывания амплитуды локальных магнитных моментов, в условиях сильного гундовского обмена, приводит к формированию „плеча“ на зависимости $C_v(T)$.

DOI: 10.21883/FTT.2017.02.44036.253

1. Кристаллическая структура сильно коррелированных геликоидальных ферромагнетиков MnSi, $Fe_{1-x}Co_xSi$, $Fe_{1-y}Mn_ySi$ и др., относится к структурному типу B20 с пространственной группой $P2_13$, для которой характерно отсутствие центра инверсии [1,2]. Такая симметрия обуславливает возникновение антисимметричного релятивистского обмена Дзялошинского–Мории (ДМ), приводящего к формированию в рассматриваемой сильно коррелированной электронной системе длиннопериодической геликоидальной спиновой спирали с аномально большими магнитными периодами (порядка 100–1000 Å) [3,4].

До сих пор не выясненным является вопрос о природе фазовых магнитных переходов в рассматриваемой группе веществ. На температурных зависимостях теплоемкости, коэффициента теплового расширения MnSi и некоторых сплавах $Fe_{1-y}Mn_ySi$ экспериментально обнаруживаются резкие лямбда-подобные аномальные максимумы и минимумы, выше температуры которых формируется „плечо“ [5], вплоть до температуры кроссовера, скейлингов критического поведения радиуса спиновых корреляций, обнаруженного на нейтронном эксперименте [6]. В этом же температурном интервале формируется максимум на температурной зависимости однородной магнитной восприимчивости, описываемый в рамках спин-флуктуационных теорий [7].

В работе [8] аномалии теплоемкости рассматриваются как результат затянутого по температуре фазового перехода первого рода, теоретически описанного в [9]. Однако выполненные в [9] разложения функционала Гинзбурга–Ландау по степеням флуктуирующего параметра порядка ограничены четвертой степенью с коэф-

фициентами, фактически выражаемыми через плотность электронных состояний на уровне Ферми и ее производными по энергии. Обоснование разложений в рамках модели электронной структуры MnSi, получаемой прямыми зонными расчетами, при этом не обсуждается. Кроме того, наблюдаемое на температурной зависимости теплоемкости „плечо“ [5] здесь не воспроизводится.

При LDA + U-расчетах электронной структуры основного состояния MnSi [10,11] ДМ-взаимодействие не учитывается, и оно описывается как ферромагнитное. Получаемые значения магнитных моментов, приходящихся на атом марганца, составляют примерно $1 \mu_B$ [12] (μ_B — магнетон Бора), что в 2.5 раза превышает значение $0.4 \mu_B$ на атом марганца [5,13], наблюдаемое в поле $h > 6.2$ кОе при $T = 1.4$ К. В работе [7] эту особенность трактовали с помощью флуктуационно-диссипативной теоремы как эффект больших нулевых спиновых флуктуаций (СФ), которые были описаны в модели Хаббарда, дополненной учетом ДМ-взаимодействия. При этом оценки показали, что в достаточно широком интервале температур, в соответствии с экспериментальными данными по магнитной восприимчивости, суммарная амплитуда нулевых и тепловых спиновых флуктуаций велика по сравнению с амплитудой намагниченности и слабо меняется с температурой. Однако, поскольку уровень Ферми лежит вблизи энергетической области щели электронного спектра, температурный рост, возникающих в такой модели амплитуды тепловых СФ, приводит к неустойчивости состояний с большими нулевыми СФ. Этот эффект коррелирует с началом наблюдаемого на эксперименте резкого температурного возрастания магнитной восприимчивости с формированием ее макси-

мума [7], который описывается в рамках существующих теорий термодинамических спиновых флуктуаций, в том числе [9,12].

Для количественного анализа экспериментальных данных по аномалиям теплоемкости, а также о спиновых флуктуациях, возникающих при фазовом магнитном переходе, необходим наряду с хаббардовским и ДМ-взаимодействиями также учет гундовского обмена, приводящего совместно со спин-орбитальным взаимодействием к возникновению щели в электронном спектре. Этот учет должен привести к частичному снятию вырождения по орбитальному и спиновому моментам, что количественно изменит плотность d -состояний вблизи уровня Ферми, а также электронный вклад в абсолютную величину теплоемкости и энтропию рассматриваемой системы.

2. В гамильтониан системы сильно коррелированных электронов включены спин-спиновые и зарядовые слагаемые, к которым сводится внутриатомное кулоновое взаимодействие зонных электронов, а также антисимметричное релятивистское взаимодействие Дзялошинского-Морийи (ДМ), приводящее к вращению спинов. Поскольку, согласно LDA + U + SO-результатам [7,10,11], состояния 5/2-мультиплета полностью вырождены по магнитному квантовому числу (m), постольку $\varepsilon_{k,m} = \varepsilon_k$ и гамильтониан рассматриваемой модели имеет вид

$$H = H_0 + H_U + H_{DM}. \quad (1)$$

Здесь $H_0 = \sum_{\mathbf{k}} \varepsilon_{\mathbf{k}} a_{\mathbf{k},m,\sigma}^+ a_{\mathbf{k},m,\sigma}$ — диагонализированный гамильтониан в LDA + U + SO,

$$H_U = \frac{1}{2} (U - 5J/2) \sum_q (\delta n_q)^2 - \frac{1}{4} (U - 5J) \sum_{q,m} (\delta n_{q,m})^2 - (U - J) \sum_{q,m} (\delta S_{q,m}^{(z)})^2 + J \sum_q (\delta S_q^{(z)})^2 \quad (2)$$

— поправка к приближению LDA + U + SO, учитывающая многочастичные хаббардовские корреляции, J и U — параметры хаббардовского и гундовского взаимодействий,

$$\delta n_{\mathbf{q},m,\sigma} = n_{\mathbf{q},m,\sigma} - \langle n_{\mathbf{q},m,\sigma} \rangle_0, \quad \delta n_{\mathbf{q}} = \sum_{m,\sigma} n_{\mathbf{q},m,\sigma} - \langle N_{\mathbf{q}} \rangle_0,$$

$$n_{\mathbf{q},m,\sigma} = a_{\mathbf{k},m,\sigma}^+ a_{\mathbf{k}+\mathbf{q},m,\sigma}, \quad \langle N_{\mathbf{q}} \rangle_0 = \sum_{\mathbf{q},m,\sigma} \langle n_{\mathbf{q},m,\sigma} \rangle_0,$$

$$\delta S_{\mathbf{q},m}^{(z)} = S_{\mathbf{q},m}^{(z)} - \langle S_{\mathbf{q},m}^{(z)} \rangle_0, \quad \delta S_{\mathbf{q}}^{(z)} = S_{\mathbf{q}}^{(z)} - \langle S_{\mathbf{q}}^{(z)} \rangle_0,$$

$$\langle S_{\mathbf{q},m}^{(z)} \rangle_0 = \sum_{\sigma} \sigma \langle n_{\mathbf{q},m,\sigma} \rangle_0 / 2, \quad \langle S_{\mathbf{q}}^{(z)} \rangle_0 = \sum_m \langle S_{\mathbf{q},m}^{(z)} \rangle_0,$$

$$\text{а } \langle S_{\mathbf{q},m}^{(z)} \rangle_0 = 0 \text{ и } \langle N_{\mathbf{q}} \rangle_0 = \delta_{\mathbf{q},0}$$

— средние значения Фурье-образов операторов спиновой и зарядовой плотностей в базисе LDA + U + SO.

В силу малости ДМ-взаимодействия по сравнению с другими обменными взаимодействиями, ограничимся его учетом в приближении среднего поля,

$$H_{DM} \approx 2 \sum_{\mathbf{q}} \mathbf{h}_{\mathbf{q}}^{(D)} \mathbf{S}_{\mathbf{q}} - \sum_{\mathbf{q}} \mathbf{d}_{\mathbf{q}} [\mathbf{M}_{\mathbf{q}} \times \mathbf{M}_{-\mathbf{q}}], \quad (3)$$

где $\mathbf{d}_{\mathbf{q}} = id\mathbf{q}$, d — константа Дзялошинского, \mathbf{q} — вектор квазиимпульса, $\mathbf{M}_{\mathbf{q}} (= \langle \mathbf{S}_{\mathbf{q}} \rangle)$ — вектор неоднородной намагниченности, $\mathbf{h}_{\mathbf{q}}^{(D)} = [\mathbf{M}_{\mathbf{q}} \times \mathbf{d}_{-\mathbf{q}}]$ — среднее поле Дзялошинского, $\mathbf{S}_{\mathbf{q}} = \sum_{\sigma,\sigma',m} a_{\mathbf{k},m,\sigma}^+ \boldsymbol{\sigma}_{\sigma,\sigma'} a_{\mathbf{k}+\mathbf{q},m,\sigma'}$ — Фурье-образ оператора спиновой плотности на узле, $a_{\mathbf{k},m,\sigma}^+ (a_{\mathbf{k},m,\sigma})$ — оператор рождения (уничтожения) электрона с квазиимпульсом \mathbf{k} и спином $\sigma (= \pm 1/2)$, $\boldsymbol{\sigma}_{\sigma,\sigma'}$ — вектор матриц Паули.

Для записи статистической суммы рассматриваемой системы сильно коррелированных электронов воспользуемся преобразованием Лапласа, которое сводит одновременный учет кулоновского внутриатомного взаимодействия и межузельных перескоков d -электронов к описанию их движения во флуктуирующих обменном (ξ) и зарядовом (η) полях

$$Z = \int_{-\infty}^{\infty} (d\xi, d\eta) Z(\xi, \eta) \exp \left\{ -a \left| \sum_{q,m} \xi_{q,l,m} \right|^2 - b \left| \sum_{q,m} \eta_{q,l,m} \right|^2 - \sum_m \left(\xi_{0,m}^2 - \sum_{q(\neq 0)} \left| \xi_{q,m} + \mathbf{h}_{\mathbf{q}}^{(D)} / c \right|^2 - \sum_q |\eta_{q,m}|^2 \right) \right\}, \quad (4)$$

где

$$(d\eta d\xi) = \left[\prod_l \left(\frac{U^{(l)} - J^{(l)}}{U^{(l)} + N_l J^{(l)}} \right) \prod_m d\xi_{0,l,m} d\eta_{0,l,m} \right] \times \left[\prod_{q \neq 0, l, j} \left(\frac{U^{(l)} - J^{(l)}}{U^{(l)} + N_l J^{(l)}} \right) \prod_m d\xi_{q,l,m}^{(j)} d\eta_{q,l,m}^{(j)} \right],$$

$c = (U - J)^{1/2} T^{1/2}$, T — температура в энергетических единицах,

$$a = \left(\frac{JU}{(U - J)(U + 5J)} \right), \quad b = \left(\frac{4U^{(l)}}{(U^{(l)} - 5J^{(l)})} \right),$$

$$Z(\xi, \eta) = \text{Sp} \exp(-H_{\text{eff}}(\xi, \eta)/T)$$

— статистическая сумма электронов, движущихся в одной из конфигураций стохастических обменных (ξ) и зарядовых (η) полей,

$$H_{\text{eff}} = \sum_{k,m} \varepsilon_{k,m} a_{k,m,\sigma}^+ a_{k,m,\sigma} + \sum_{q,m} \left[(ic/2) \eta_{-q,m} \times (N_{q,m} - \langle N_{q,m} \rangle_0) + c \xi_{-q,m} \mathbf{S}_{\mathbf{q},m} \right] - \sum_{\mathbf{q}} \mathbf{d}_{\mathbf{q}} [\mathbf{M}_{\mathbf{q}} \times \mathbf{M}_{-\mathbf{q}}] \quad (5)$$

— эффективный гамильтониан.

Вычисление интегралов (4) выполним в приближении седловой точки методом перевала по переменным $|\xi_{q,m}^{(y)}|^2 (= r_{q\gamma}^2)$, $\xi_{q_0,m}^{(y)}$ и $\eta_{q,m}$, имеем

$$ic\eta_{0,m} = U\delta n_m + Ub \sum_{m'(\neq m)} (\delta n_m - \delta n_{m'}),$$

где $\delta n_m = n_m - \langle n_m \rangle_0$ — отклонение значения чисел заполнения электронных d -состояний (с проекцией полного магнитного момента — m) от их значения в основном состоянии, описываемом LDA + SO + U-приближением. Из этого уравнения следует, что в условиях полного вырождения электронных состояний зоны 5/2-мультиплета (частично заполненных) и в отсутствии их перемешивания с состояниями зоны 3/2-мультиплета (за счет достаточно сильного гундовского взаимодействия), однородная компонента стохастического зарядового поля равна нулю ($\eta_{0,m} = 0$).

Частным случаем условий седловой точки является уравнение магнитного состояния для вектора намагниченности на волновых векторах \mathbf{q}_0 и $-\mathbf{q}_0$

$$M_{\mathbf{q}_0}^{(y)}(D^{-1} - a + X(\mathbf{q}_0, 0)) + \frac{1}{2} \kappa M_{-\mathbf{q}_0}^{(y)}(\mathbf{M}_{\mathbf{q}_0})^2 = h_{-\mathbf{q}_0,y}^{(D)}, \quad (6)$$

где $\mathbf{M}_{\mathbf{q}_0} (= \mathbf{M}_{-\mathbf{q}_0}^*) = 2^{-1/2}(\mathbf{iM}_{\mathbf{q}_0} + \mathbf{jM}_{\mathbf{q}_0})$, \mathbf{i} и \mathbf{j} — орты, лежащие в геликоидальной плоскости (модель Янсена–Бака), $\kappa = (U^3/m_L^2)[\chi_{\perp}^{(0)} - \chi_{\parallel}^{(0)}]$ — коэффициент межмодовой связи, $D^{-1} = 1 - \chi_{\perp}^{(0)} + \kappa \langle m^2 \rangle / 3$ — фактор обменного усиления парамагнитной восприимчивости,

$$\chi_{\perp} = (2Um_L)^{-1} \sum_{\alpha=\pm 1} \int_{-\infty}^{\infty} g_{\alpha}(\varepsilon) f(\varepsilon - \mu) d\varepsilon, \quad (7)$$

$$\chi_{\parallel} = 2 \left(\sum_{\alpha=\pm 1} g_{\alpha}(\mu) \right)^{-1} \prod_{\alpha=\pm 1} g_{\alpha}(\mu),$$

$$g_{\alpha}^{(n)}(\mu) = (-1)^{n+1} \int_{-\infty}^{\infty} g_{\alpha}(\varepsilon) (d^{n+1} f(\varepsilon - \mu) / d^{n+1} \varepsilon) d\varepsilon,$$

$f(\varepsilon - \mu)$ — функция Ферми–Дирака, μ — химический потенциал, определяемый из условия электронейтральности: $N = -\partial F / \partial \mu$. Модуль вектора гелимагнитного упорядочения (\mathbf{q}_0), фигурирующего в (6), определяется равенством $\mathbf{q}_0 \approx d/2UA$, в котором A — коэффициент при второй степени волнового вектора в разложении функции Линдхарда [14]

$$X(\mathbf{q}, \omega) = \left(A(\mathbf{q}/q_C)^2 - iBU^{-1} \frac{\omega}{|\mathbf{q}/q_C|} \theta(T_0|\mathbf{q}/q_C| - \omega) \right) \times \theta(q_C - |\mathbf{q}|), \quad (8)$$

где $T_0 = V_F q_C$, V_F — скорость на поверхности Ферми, q_C — модуль вектора „обрезания“, равный $2|\mathbf{k}_F|$, \mathbf{k}_F — вектор Ферми, $\theta(x)$ — θ -функция.

Полученные выражения для функционала свободной энергии обоснованы учетом электронной структуры MnSi [7] и не сводятся к функционалу Гинзбурга–Ландау. Кроме того, согласно (6), (7), магнитные восприимчивости, фактор обменного усиления и константа спиновой жесткости определяются не через плотность состояний, определяемую в схеме LDA + U + SO, а через перенормированные флуктуирующими обменными полями плотности электронных состояний со спинами, параллельными и антипараллельными этим полям (симметризованных и антисимметризованных по спину соответственно):

$$g_{\alpha}(\varepsilon) = g_0(\varepsilon + \alpha Um_L), \quad (9)$$

где $\alpha = +1$ и $\alpha = -1$ соответственно, $g_0(\varepsilon)$ — плотность состояний d -электронов в зоне 5/2-мультиплета, рассчитанная в LDA + U + SO-приближении и приходящаяся на одну из проекций магнитного момента $j = 5/2$. При этом перенормировки электронных энергий стохастическими обменными полями выражаются через средний квадрат локального момента на узле, приходящегося на одну проекцию полного момента $j = 5/2$,

$$m_L^2 = \langle m^2 \rangle + (D/U)^2 |h_{\mathbf{q}_0}^{(D)}|^2 \quad (10)$$

и, определяемого квадратами амплитуд неоднородной намагниченности геликоидального ферромагнетика (в соответствии с уравнением магнитного состояния (6)) и спиновых флуктуаций

$$\langle m^2 \rangle = \langle m^2 \rangle_0 + \langle m^2 \rangle_T = (2\pi U)^{-1} \sum_{\mathbf{q}'} \int_0^{\infty} (1 + 2f_B(\omega/T)) \times \text{Im}(D^{-1} + 2\kappa |M_{\mathbf{q}_0}^{(y)}| - a + X_{\mathbf{q}})^{-1} d\omega, \quad (11)$$

$f_B(\omega, T)$ — функция Бозе, $\langle m^2 \rangle_0$ и $\langle m^2 \rangle_T$ — амплитуды нулевых и тепловых флуктуаций спиновой плотности. В аппроксимации (8) и в соответствии с уравнением магнитного состояния

$$\langle m^2 \rangle_0 = (4\pi 2A^2 BU)^{-1} \sum_{\gamma} [(D^{-1} + 2\kappa |M_{\mathbf{q}_0}^{(\gamma)}| - a)^2 - A^2] \times \left[1 + \ln \left(1 + B^{-1} (D^{-1} + 2\kappa |M_{\mathbf{q}_0}^{(\gamma)}| - a)^2 \right) \right]. \quad (12a)$$

Однако требование термодинамической устойчивости геликоидального упорядочения [7] приводит к следующему условию исчезновения нулевых спиновых флуктуаций

$$\langle m^2 \rangle_0 / m_L^2 = (U\chi_{\perp})^2 \left(\left(\sum_{\alpha=\pm 1} g_0(\mu + \alpha Um_L) \right)^2 / \left(\sum_{\alpha=\pm 1} \alpha g_0^2(\mu + \alpha Um_L) g_0'(\mu - \alpha Um_L) \right) \right). \quad (12b)$$

Температурная зависимость амплитуды тепловых и нулевых спиновых флуктуаций зависит от соотношения параметров внутриузельного обмена (J) по сравнению с межузельным (UX_q). Для определения адекватной для рассматриваемой модели электронной структуры MnSi температурной зависимости амплитуды спиновых флуктуаций необходим дополнительный численный анализ экспериментальных данных (см. п. 3).

Свободная энергия исследуемой электронной системы представляется в виде слагаемых, связанных с обменным и релятивистским взаимодействием внутренних локальных магнитных полей (F_L), фермиевскими (F_F) и парамагнетными возбуждениями (F_{pm}), и учитывает (по сравнению с [7]) вырождение электронных состояний по орбитальному моменту

$$F = -T \ln Z = F_L + F_F + F_{pm}, \quad (13)$$

Здесь

$$F_L = N_j \sum_{\mathbf{q}(\neq \mathbf{q}_0), \gamma} U(1 + a + X_{\mathbf{q}}) \langle m_{\mathbf{q}, \gamma}^2 \rangle + U(1 + a + X_{\mathbf{q}_0}) \times |\mathbf{M}_{\mathbf{q}_0}|^2 + 2N_j \mathbf{d}_{\mathbf{q}_0} [\mathbf{M}_{\mathbf{q}_0} \times \mathbf{M}_{-\mathbf{q}_0}], \quad (13a)$$

$$F_F = 2^{-1} T N_j$$

$$\times \sum_{\alpha} \int_{-\infty}^{\infty} g_0(\varepsilon) \ln \left(1 + \exp \left(\frac{\mu - \varepsilon - \alpha U m_L}{T} \right) \right) d\varepsilon - \mu N, \quad (13b)$$

$$F_{pm} = (2\pi)^{-1} N_j \sum_{\mathbf{q}(\neq \mathbf{q}_0), \gamma} \int_0^{\infty} (1 + 2f_B(\omega/T)) \times \text{Im} \left[\ln \left(D^{-1} + 2\kappa |M_{\mathbf{q}_0}^{(\gamma)}| - a + X_{\mathbf{q}}(\omega) \right) \right] d\omega, \quad (13c)$$

$N_j = 2j + 1 (= 4)$ — вырождение зоны $j (= 5/2)$ -мультиплета, $m_{\mathbf{q}, \gamma}^2 = (1 - \delta_{\mathbf{q}_0; \mathbf{q}}) \langle m_{\mathbf{q}, \gamma}^2 \rangle + \delta_{\mathbf{q}_0; \mathbf{q}} |M_{\mathbf{q}_0}^{(\gamma)}|^2$ — амплитуда спиновой плотности на векторе \mathbf{q} , а амплитуда спиновых флуктуаций на векторе \mathbf{q} определяется в соответствии с уравнением перевала выражением, которое совпадает с флуктуационно-диссипативной теоремой.

Используя найденное выражение для свободной энергии вместе с условиями (6) и (10), можно проанализировать энтропию

$$S = - \left(\frac{\partial F}{\partial T} \right)_V$$

в зависимости от изменения с температурой локального магнитного момента (ЛММ) на узел

$$S = S_{pm} + S_L + S_F, \quad (14)$$

где

$$S_{pm} = (2\pi T)^{-1} N_j \times \sum_{\mathbf{q}(\neq \mathbf{q}_0), \gamma} \int_0^{\infty} \omega \text{Im} \left[\ln \left(D^{-1} + 2\kappa |M_{\mathbf{q}_0}^{(\gamma)}| - a + X_{\mathbf{q}}(\omega) \right) \right] \frac{d}{d\omega} \times (1 + 2f_B(\omega/T)) d\omega + F_{pm}/T, \quad (14a)$$

$$S_L = -UT^{-1} N_j (U \chi_{\perp} \langle m^2 \rangle + \mathbf{M}_{\mathbf{q}_0}^2 (1 + X_{\mathbf{q}_0})) + F_L/T, \quad (14b)$$

$$S_F = T^{-1} N_j \int_{-\infty}^{\infty} d\varepsilon \left(\sum_{\alpha} g_0(\varepsilon - \alpha U m_L) \right) \times (\varepsilon - \mu) f(\varepsilon - \mu) + F_F/T. \quad (14c)$$

Теплоемкость электронной системы при постоянном объеме определяется дифференцированием по температуре энтропии с дополнительным учетом условий перевала для функционала свободной энергии

$$C_V/N_j = \frac{\pi^2}{6} \sum_{\alpha} g_0(\mu - \alpha U m_L) T - U^2 \chi_{\perp} \left(\frac{d\mathbf{M}_{\mathbf{q}_0}^2}{dT} + \frac{d\langle m^2 \rangle}{dT} \right) + \sum_{\gamma} (D_{\gamma}^{-1} + \kappa \mathbf{M}_{\mathbf{q}_0}^2 + A - a) U \frac{d\langle m_{\gamma}^2 \rangle_T}{dT}. \quad (15)$$

Первые слагаемые (14), (15) соответствуют вкладу фермиевских возбуждений, вторые связаны с разупорядочением и изменением амплитуды ЛММ, последние обусловлены магнетон-парамагнетными возбуждениями. Особенности спин-флуктуационных возбуждений и изменения локального момента на узел в температурной окрестности магнитного фазового перехода связаны с возрастанием радиуса спиновых корреляций [6,7]. Выражения (13)–(15) соответствуют работе [9] после разложения в ряд по степеням m_L до шестого порядка.

3. Для количественного сопоставления с экспериментом проведен LDA + U + SO-расчет затравочной ($\mathbf{M}_{\mathbf{q}_0} = 0$, $\mathbf{M}_0 = 0$ и $\langle m^2 \rangle = 0$) плотности электронных состояний. Результаты этого расчета, включая оценки параметров внутриузельных взаимодействий, соответствуют полученным ранее в [7]. Однако, как уже отмечалось, во всех полученных выражениях фигурируют плотности симметризованных и антисимметризованных по спину электронных состояний (9), которые зависят от величины среднего локального магнитного момента на узел.

Анализируя выражение (11) выше этой температуры, получаем, что в рассматриваемой модели электронной структуры MnSi, где величина хаббардовского отталкивания $U = 0.86$ eV, а параметр гундовского обменного взаимодействия $J = 0.49$ eV, амплитуда тепловых спиновых флуктуаций пропорциональна квадрату температуры

$$\langle m^2 \rangle_T = (3/4) B (T/U)^2 a^{-1} (a + A)^{-1}. \quad (16)$$

Следует иметь в виду, что в работе [7], где не учитывались корреляции, связанные с сильным гундовским обменным взаимодействием, квадрат амплитуды тепловых спиновых флуктуаций описывался законом $T^{4/3}$.

В условиях, когда нулевыми флуктуациями можно пренебречь (12b), подставляя (16) в уравнение магнитного состояния (6), можно описать температурную зависимость неоднородной намагниченности вблизи температуры перехода в парамагнитное состояние

$$M_{q_0} = \langle m^2 \rangle_C^{1/2} (1 - (T/T_C)^2)^{1/2}, \quad (17)$$

$$T_C = \kappa^{-1} B^{-1} U (S^{-1} - a - Dq_0/U)^{1/2}. \quad (18)$$

Анализ формул (14) показывает, что уменьшение амплитуды ЛММ, сопровождаемое исчезновением нулевых флуктуаций спиновой плотности (12a), ведет к возрастанию парамагнетного вклада в теплоемкость и сопровождается уменьшением числа незаполненных антисимметризованных электронных состояний и энтропии магнитных локальных моментов (14b) (рис. 1 и 2).

Анализ условия (12b) в рассматриваемой модели электронной структуры MnSi и в пренебрежении темпе-

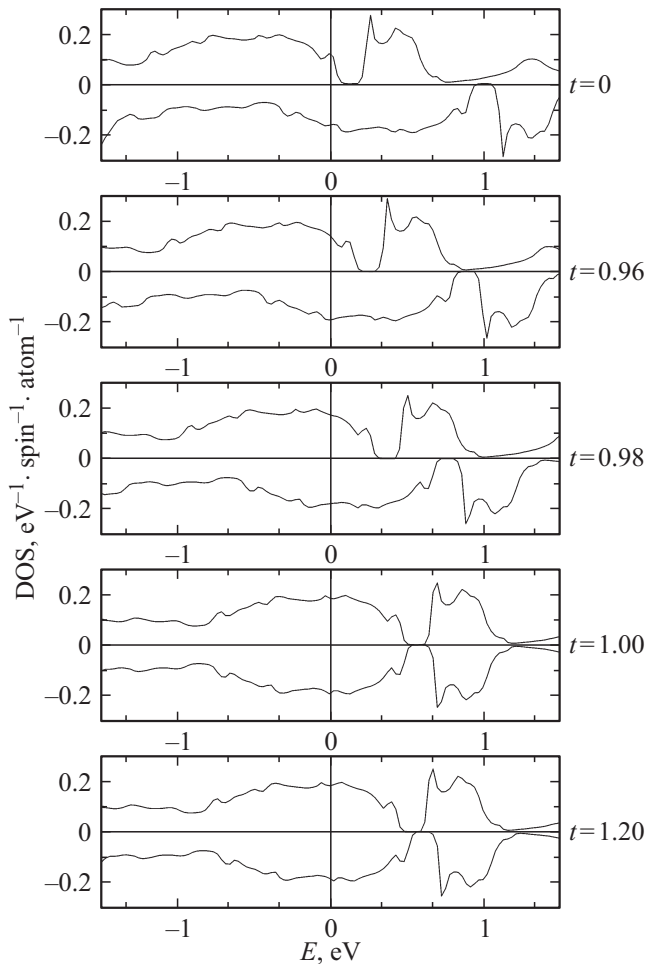


Рис. 1. Плотность симметризованных и антисимметризованных состояний при различных температурах ($t = T/T_C$, $T_C = 29.9$ К — расчетное значение температуры обращения в ноль неоднородной намагниченности (18)). Плотность антисимметризованных состояний была умножена на минус единицу. Положение химического потенциала совпадает с началом отсчета энергии.

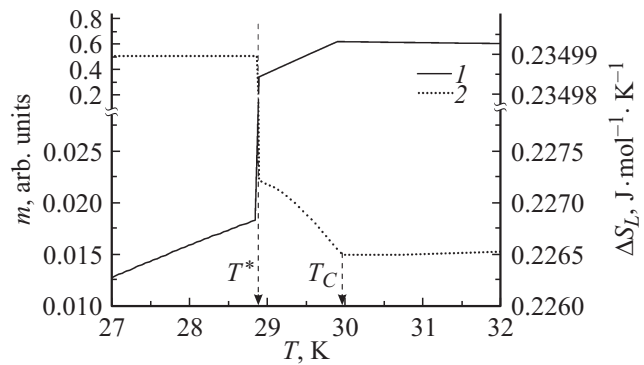


Рис. 2. Изменения энтропии локальных магнитных моментов (ΔS_L) и среднеквадратического локального момента на узле (m_L) с температурой. 1 — ΔS_L , 2 — m_L .

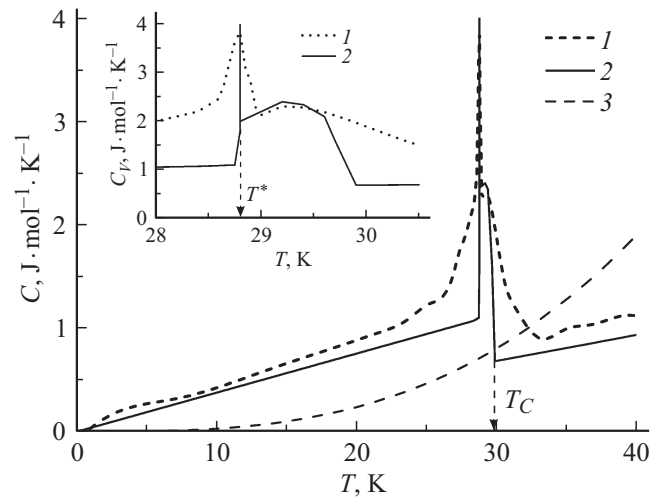


Рис. 3. Температурные зависимости электронного и фононного вкладов в теплоемкость MnSi. 1 — результат оценки электронного вклада в теплоемкость при постоянном объеме (C_V) из экспериментальных данных [5], 2 — результат расчета C_V в настоящей работе, 3 — результат оценки фононного вклада в расширенной модели Дебая.

ратурным размытием функции Ферми–Дирака¹ приводит к скачкообразному исчезновению нулевых спиновых флуктуаций при температуре $T^* \approx 0.965T_C$. Расчеты температурных зависимостей электронной теплоемкости при постоянном объеме, выполненные в этой модели электронной и магнитной подсистемы, также показывают, что лямбда-подобные аномалии теплоемкости $C_V(T)$ и скачок энтропии имеют место в области исчезновения нулевых спиновых флуктуаций (рис. 2 и 3). Поэтому в отличие от [8] здесь не получается термодинамический переход первого рода.

¹ Учет размытия функции Ферми–Дирака в выражениях для амплитуды нулевых флуктуаций, энтропии и теплоемкости вблизи температуры T^* затруднен, так как требует знания тонкой структуры плотности электронных состояний в бесконечно малом энергетическом интервале вблизи энергетической щели (рис. 1).

На рис. 3 также проведено сравнение расчетов с теплоемкостью при постоянном объеме, полученной из обработки экспериментальных данных. Следует отметить, что самосогласованный термодинамический анализ тепловых свойств MnSi, выполненный в расширенной модели Дебая [15], позволяет оценить поправку к теплоемкости за счет решеточного ангармонизма, вызванного тепловым расширением, и приближенно совпадает с результатом первопринципного расчета фононного вклада в теплоемкость MnSi [16]. Этот вклад был использован для определения электронной теплоемкости и приведен на рис. 3.

Наблюдаемые аномалии теплоемкости и резкие изменения энтропии имеют место при температуре, лежащей ниже температуры T_C , соответствующей исчезновению неоднородной намагниченности (см. рис. 2 и 3). В этой области температур теплоемкость будет описываться аналогично [8,9], если пренебречь гундовским обменом и вырождением d -состояний. Учет гундовского обмена и соотношений (16), (17) приводит к возникновению температурного „плеча“ на рассчитанной зависимости $C_V(T)$, которое коррелирует с экспериментальными данными (вставка к рис. 3). Энтропия при таком переходе изменяется непрерывно (см. рис. 2 и формулу (14)).

Рассмотренные особенности фазового магнитного перехода ограничены анализом аномалий, не связанных с изменением объема. С другой стороны, из эксперимента известно, что при фазовых переходах в этом магнетике наблюдаются аномально резкие изменения объема и температурные минимумы коэффициента теплового расширения и модулей всестороннего сжатия [5,17,18]. Вопрос о влиянии спиновой и электронной подсистем на кристаллическую решетку MnSi требует отдельного исследования.

Список литературы

- [1] S.V. Grigoriev, D. Chernyshov, V.A. Dyadkin, V. Dmitriev, E.V. Moskvina, D. Lamago, Th. Wolf, D. Menzel, J. Schoenes, S.V. Maleyev, H. Eckerlebe. *Phys. Rev. B* **81**, 012408 (2010).
- [2] С.М. Стишов, А.Е. Перова. *УФН* **181**, 1157 (2011).
- [3] P. Bak, M.H. Jensen. *J. Phys. C* **13**, L881 (1980).
- [4] S.V. Grigoriev, S.V. Maleyev, A.I. Okorokov, Yu.O. Chetverikov, P. Böni, R. Georgii, D. Lamago, H. Eckerlebe, K. Pranzas. *Phys. Rev. B* **74**, 214414 (2006).
- [5] S.M. Stishov, A.E. Petrova, S. Khasanov, G.Kh. Panova, A.A. Shikov, J.C. Lashley, D. Wu, T.A. Lograsso. *Phys. Rev. B* **76**, 052405 (2007).
- [6] S.V. Grigoriev, S.V. Maleyev, E.V. Moskvina, V.A. Dyadkin, P. Fouquet, H. Eckerlebe. *Phys. Rev. B* **81**, 144413 (2010).
- [7] А.А. Повзнер, А.Г. Волков, И.А. Ясюевич. *ФТТ* **58**, 1283 (2016).
- [8] M. Janoschek, M. Garst, A. Bauer, P. Krautscheid, R. Georgii, P. Böni, C. Pfeleiderer. *Phys. Rev. B* **87**, 134407 (2013).
- [9] S.A. Brazovskii, I.E. Dzyaloshinskii, B.G. Kukharenko. *Sov. Phys. JETP* **43**, 1178 (1976).
- [10] S.J. Hashemifar, P. Kratzer, M. Scheffer. *Phys. Rev. Lett.* **94**, 096402 (2005).
- [11] R. Collyer, D.A. Browne. *Physica B* **403**, 1420 (2008).
- [12] А.А. Повзнер, О.Г. Страшников, А.Г. Волков. *ФНТ* **10**, 738 (1984).
- [13] J.H. Wernick, G.K. Wertheim, R.C. Sherwood. *Mater. Res. Bull.* **7**, 1431 (1972).
- [14] I.E. Dzyaloshinskii, P.S. Kondratenko. *Sov. Phys. JETP* **43**, 1036 (1976).
- [15] V.Yu. Bodryakov, A.A. Povzner, I.V. Safonov. *Tech. Phys.* **51**, 216 (2006).
- [16] S.M. Stishov, A.E. Petrova, A.A. Shikov, T.A. Lograsso, E. Isaev, B. Johansson, L.L. Daemen. *Phys. Rev. Lett.* **105**, 236403 (2005).
- [17] G.P. Zinoveva, L.P. Andreeva, P.V. Geld. *Phys. Status Solidi* **23**, 711 (1974).
- [18] A.E. Petrova, V.N. Krasnorussky, A.A. Shikov, W.M. Yuhasz, T.A. Lograsso, J.C. Lashley, S.M. Stishov. *Phys. Rev. B* **82**, 155124 (2010).